文章编号: 1674-599X(2020)03-0081-07

基于长短期记忆网络的断面交通数据异常处理

张灵1, 康晋滔2, 成卫2

(1. 昆明市公安局交通警察支队科信处, 云南 昆明 650000; 2. 昆明理工大学 交通工程学院, 云南 昆明 650504)

摘 要:针对基于统计模型的传统算法仅优化局部数据的问题。建立了基于长短期记忆网络深度学习模型的异常数据处理算法和基于 Tensorflow 框架搭建了神经网络模型。通过进行训练模型,获得备选数据集和校验数据集。通过样本标签对比,判定异常点,并进行数据替换和更新标准样本。为检验该算法的有效性,使用昆汕高速公路 K2077 断面交通数据,进行验算和分析。研究结果表明:长短期记忆网络模型可快速处理交通时序原始数据,并进行检测修正算法,优化了数据质量,弥补了传统算法的局限性。工作窗口的建立,精简了算法流程,提升了数据修正的精度。

关键词:智能交通;数据预处理;异常检测与修正;断面交通数据;长短期记忆网络

中图分类号: U491 文献标志码: A

DOI:10.16544/j.cnki.cn43-1494/u.2020.03.013

Abnormal detection and correction of section traffic data based on long short-term memory network

ZHANG Ling¹, KANG Jin-tao², CHENG Wei²

- (1. Science and Information Office, Traffic Police Branch of Kunming Public Security Bureau, Kunming 650000, China;
 - 2. School of Traffic Engineering, Kunming University of Science and Technology, Kunming 650504, China)

Abstract: In order to solve the contradiction that only the local data can be optimized using traditional algorithms, an abnormal data processing algorithm based on long short-term memory network (LSTM) deep learning model proposed, and then the neural network model is built based on tensor flow framework, so as to obtain alternative data sets and calibration data sets. Through the comparison of sample labels, abnormal points are determined, the data is replaced and the standard samples are updated. To verify the effectiveness of the algorithm, the K2077 section traffic data of Kunming-Shantou expressway was used for checking and analysis. The results show that the LSTM model can quickly process the original traffic time series data and detect and correct algorithm. It can also optimize the data quality and makes up for the limitations of traditional algorithms. The establishment of the working window simplifies the algorithm flow and improves the accuracy of data correction.

Key words: intelligent transportation; data preprocessing; anomaly detection and correction; sectional traffic data; long short-tem memory

各大、中城市交管部门相继引进智能交通系统 (Intelligent Transportation Systems, 简称为 ITS)进行 交通管理,积累了庞大的交通原始数据。这些交通 数据在传统交通领域和其他领域中,都存有极大的 潜在价值^[1-2]。因为数据采集、储存质量及精度普遍不高,其平均准确率不足 70%^[3]。所以交通原始数据的预处理是一项不可或缺的工作。而针对原始数据的异常判定和标准修正是核心工作。最早学者

收稿日期: 2020-03-18

基金项目: 国家自然科学基金(61364019)

作者简介: 张灵(1982-), 男, 昆明市公安局交通警察支队科信处工程师。

们针对交通数据的异常处理是基于数理统计学原理。通过研究交通数据时间和空间的相关性,结合相应的公式、模型判定异常值。Jacobson^[4]等人通过研究交通参数的阈值规律,建立了相关模型,得出了运用阈值来判定参数异常的方法。Zhong^[5-7]等人通过改进算法,利用插值和回归方法,修正了异常的数据点。Min^[8]等人通过交通数据在时间和空间维度相关性高的特点,使用邻接数据和历史数据等,修正异常值。部分学者对交通数据预处理进行了探索。姜桂艳^[9-10]等人针对动态交通数据,建立了一套异常评价标准和数据预处理流程。然而这类统计模型,难以应对呈几何倍数增长的交通数据。

互联网技术快速发展,人工智能算法和深度神 经网络开始运用于交通领域。许多学者运用数据挖 掘的方法,处理交通数据。杨帆[11]等人利用双向 LSTM 网络对船舶自动识别数据进行学习,实现对 船舶异常行为进行检测。Sun^[12]等基于最邻近算法 (K-Nearest Neighbor, 简称为 KNN), 引入时间窗概 念,拓宽数据集规模,利用 R 语言,在平台上搭建 了基于窗口的最邻近算法。Kim^[13]等人对传统递归 神经网络进行了优化, 采用卷积神经网络 (Convolutional Neural Networks, 简称为 CNN)和长 短期记忆网络(Long Short-Term Memory, 简称为 LSTM)。结合的 C-LSTM (Convolutional LSTM 简称 为 C-LSTM)模型,对大量历史交通数据进行了训 练,建立了不同场景下的模型参数,检测对应的数 据异常值。王祥雪[14]等人对交通数据时、空特性进 行了识别和强化,完成短时交通流预测模型的搭 建。尹 康[15]提出了交通领域的关联时间序列预测 模型,在空气质量数据集和交通数据集上,验证了 双通道 LSTM 法的通用性和有效性。王亚萍[16]等人 建立了分层贝叶斯网络下的路网密度估测模型。因 此,作者针对断面交通数据的特征,拟运用 LSTM 模型进行异常数据的筛选及修正工作,提出了一种 滑动工作窗口和标签值对比的方法,优化数据筛选 和修正流程。

1 基于 LSTM 的时序回归模型

1.1 原始数据集标准化处理

由于经典交通流理论存在3个参数(交通流量、

行车速度及车流密度)。因此,对于同一断面的相同时刻,也存在3个维度的特征向量。因设备采集数据的限制,所以本研究断面的原始数据为流量和速度特征向量。当不同的特征组合时,因为特征本身不同的表达方式和量纲,绝对数值大的数据会覆盖小数据。所以要求对数据进行模型训练之前,先对抽取的特征向量进行归一化处理,以保证每个特征向量在训练模型时,被平等对待。

为了数据集标准化,采用零-均值规范化 (z-score 标准化)。经过标准化的数据均值为 0,标准差为1。其标准化处理式为:

$$x' = \frac{x - \mu}{\sigma} \, . \tag{1}$$

式中: μ 为原始数据的均值; σ 为原始数据的标准 差; x'为标准化处理之后的数据集; x 为原始数据集。

1.2 基于 LSTM 的模型简述

原始数据经过标准化处理后,运用 LSTM 神经模型开始训练数据。LSTM 实质上是一种特殊的递归神经 网络 (Recurrent Neural Network, 简称为RNN)。为了解决 RNN 网络在处理长时间序列时,产生的梯度消失,LSTM 应运而生。LSTM 网络的核心组成包括 5 个部分。

1) 激活函数 Tanh 和 Sigmoid

激活函数 *Tanh* 用于帮助调节流经网络的值,确保数值保持在(-1,1),从而控制神经网络的输出值在合理的边界内部。*Tanh* 函数式为:

$$Tanh(x) = \frac{e^x - e^{-x}}{e^x + e^{-x}}$$
 (2)

激活函数 Sigmoid 与 Tanh 函数基本一致,不同的是 Sigmoid 把数据值控制在 0 到 1 之间。该函数特点:用于更新或忘记数据流携带的信息。Sigmoid 函数式为:

$$Sigmoid(x) = \frac{1}{1 + e^{-x}}$$
 (3)

2) 遗忘门,可以决定数据信息的去留。其表达式为:

$$f_t = Sigmoid(W_f \cdot [h_{t-1}, x_t] + b_f) \circ$$
 (4)

式中: f_t 、 W_f 、 b_f 分别为遗忘门的输出向量、权值、偏置; h_{t-1} 为前一个隐藏状态的数据信息; x_t 为当前输入的数据信息。

3) 输入门,可以更新细胞状态。其表达式为:

$$i_{t} = Sigmoid(W_{i} \cdot [h_{t-1}, x_{t}] + b_{i}) \cdot$$

$$Tanh(W_{c} \cdot [h_{t-1}, x_{t}] + b_{c}) \circ$$

$$(5)$$

式中: i_t 、 W_i 、 b_i 分别为输入门的输出向量、权值、偏置; W_c 、 b_c 为当前输入状态的权值、偏置。

4) 细胞状态,表示当前细胞储存的数据信息。 其表达式为:

$$C_t = f_t \cdot C_{t-1} + i_t \circ \tag{6}$$

式中: C_r 、 C_{t-1} 分别为当前细胞状态与前一个细胞状态。

5) 输出门,可以计算下一个隐藏状态的值,隐藏状态包含了以前输入的数据信息。其表达式为:

 $h_t = Sigmoid(W_o \cdot [h_{t-1}, x_t] + b_o) \cdot Tanh(C_t)$ 。 (7) 式中: h_t 、 W_o 、 b_o 分别为输出门的输出向量(即当前细胞的输出)、权值、偏置。

通过在 RNN 简单的细胞结构中,引入门结构产生了 LSTM 网络。LSTM 的基本结构如图 1 所示。 S 代表 Sigmoid 激活函数; T 代表 Tanh 激活函数。

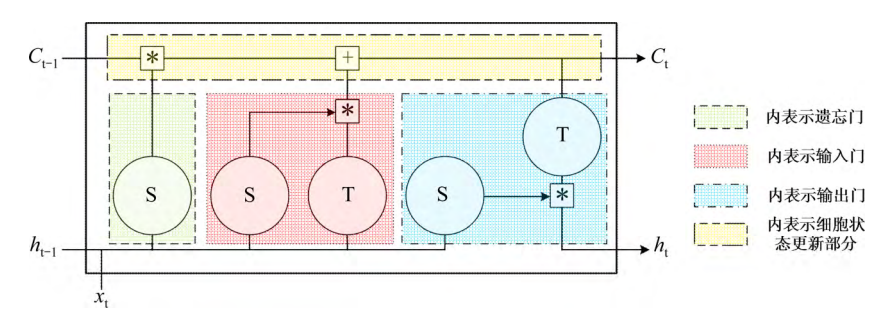


图1 LSTM 基本单元结构

Fig. 1 Basic unit structure diagram of the LSTM

2 基于 LSTM 的数据异常检测与 修正

LSTM 网络对于时间序列的数据,具有优良的 回归处理效果,常被用于自然语言序列处理等领域。由于断面交通数据是典型相关性大的时序数据。因此,采用 LSTM,进行交通数据的拟合,有充足的前提依据。

2.1 基于 Tensorflow 的模型构建

LSTM 网络可通过多种计算机语言编程实现,而基于 Python 开发的 Tensorflow 框架,为该神经网络 的搭建和训练提供了极大的便利。利用 Tensorflow, 封装的大量神经网络功能和函数,完成几个代码块,即可通过 LSTM 模型构建。在 Jupyternotebook 平台上,使用其 6 个部分,构建了本模型。

1) 导入模型搭建所需函数库及定义常量

先导入 Pandas、Numpy 2 种数据处理库和 Tensorflow 工具库。同时,为了便于模型可视化, 导入 Matplotlib 绘图工具库。再定义隐层神经元个 数 hidden-unit、隐层层数 lstm-layers、输入向量维 度 input-size、输出向量维度 output-size 及学习率 lr

5个常量。

2) 导入原始数据

在进行神经网络训练过程中,将原始数据按一定比例分为训练集、验证集及测试集。训练集数据用于模型的训练(对测试集中的异常值,进行检测,并修正),验证集用于模型的性能检测,测试集用于模型的功能使用。

3) 定义神经网络变量

神经网络变量主要包括输入层和输出层的权重、偏置及 Dropout 参数。权重变量采用tf.random-normal 函数,随机向服从指定正态分布的数值中取出指定个数的值。偏置变量采用tf.constant函数,从指定常量值中,取出特定形状的向量。Dropout 参数可以有效减少过拟合现象,使模型泛化性更强。在每个训练批次中,通过随机使部分隐层节点值为 0,从而减少隐层节点间的相互作用,减少所训练模型对局部特征的依赖。

4) 搭建神经网络结构

采用 tf.nn.rnn-cell.BasicLSTMCell 函数, 创建LSTM 基本单元结构。采用 tf.nn.rnn-cell. MultiRNNCell 函数, 搭建多层 LSTM 隐层结构。采用tf.nn.dynamic-rnn 函数, 使 LSTM 细胞单元结构连接成网络。同时,为了满足神经网络对输入变量的

形状要求。需要将输入向量先转成二维进行计算。 再将计算结果作为隐藏层的输入。然后将隐藏层输 入结果,转成三维,作为 LSTM 细胞单元的输入。 最后将细胞单元运算结果转成二维,作为神经网络 的输出值。

5) 训练模型

在 Tensorflow 框架中,基本操作由会话窗口的建立、数据导入字典与传入占位符 2 部分组成。在模型的训练过程中,由损失函数和优化器 2 部分完成。损失函数使用均方误差法进行计算,优化器选用 Adam 自适应学习率梯度下降优化器。在迭代过程中,通过对损失率的观察,判断神经网络的性能。并不断地调节相应参数,使模型损失最小,最终达到收敛。

6) 模型使用及可视化

采用训练完成的 LSTM 模型,对测试集数据进行预测拟合,并计算相应的偏差程度。然后使用 Matplotlib 绘图工具,对模型计算结果进行可视化。同时,为了便于对模型内部的数据流图有更清晰的认识,利用 Tensorflow 中的 Tensorboard 工具,对整个模型结构进行可视化。

2.2 基于 LSTM 的异常数据检测修正算法

在神经网络的模型训练中,通常的做法:把 2/3~4/5 的样本数据用于训练,余下的样本用于测试。但是为了保障模型的准确性,以 4:1 的数据划分训练集和测试集。由于模型是对时序数据进行异常检测,参与训练的数据需要无异常点的标准样本。因此,将训练集称为标准样本集,测试集称为异常检测集。算法步骤为:

1) 建立算法工作窗口 W

交通检测设备每天采集的流量Q和速度V为二维向量,即 X=(Q,V),可以得到一维标签,密度特征 K=Q/V。用 X 表示每天的原始数据集,则 X_1,X_2,\cdots,X_n 分别为第一天、第二天、…、第 n 天的数据。若第 t 天的数据存在异常点,则获取该天数据为检测集 X_t ,那么算法工作窗口可表示为: $W=[X_{t-4},X_{t-3},X_{t-2},X_{t-1},X_t]$ 。

2) LSTM 模型训练及运用

先选取工作窗口 W 中的标准样本集 X_{t-4} , X_{t-3} , X_{t-2} , X_{t-1} , 导入已经搭建好的 LSTM 网络中,通过迭代运算,得到算法所需的模型参数。其次,用模型参数对第 t 天的数据进行预测拟合,得到备选数据集 X_t' 。由于 LSTM 为监督学习深度神经网

络,采用密度特征向量 K 作为标签值,再次训练 LSTM 模型,并运用,得到校验标签值 K'_i 。

3) 异常值判定

针对异常检测集 X_t ,交通检测设备每 10 min 记录一次数据。因此,每天都有 144 组原始数据,得到检测集的密度特征向量 $K_i=k_1,k_2,\cdots,k_i$,校验标签值 $K'_t=k'_1,k'_2,\cdots,k'_i$,i 为数据集中的时刻索引,取值为 1~144 的整数。

计算其对应时刻的密度特征和标准偏差为:

$$k_i = q_i / v_i . ag{8}$$

式中: k_i 、 q_i 、 v_i 分别为检测集中第 i 时刻的密度值、流量值、速度值。

计算校验数据集 G 为:

$$g_i = |k_i' - k_i| \, . \tag{9}$$

式中: g_i 为校验集 G 中第 i 时刻的校验值。

$$\sigma_g = \sqrt{\frac{1}{m-1} \sum_{i=1}^{m} (g_i - \overline{G})^2} \ . \tag{10}$$

式中: σ_g 、 \overline{G} 分别为校验集的标准偏差和均值,m=144。

通过对 X_t 任意时刻的校验值和标准偏差进行比较,若存在 $\left|g_i-\overline{G}\right| \geq 3\sigma_g$,则判定该时刻点为异常数据点。

4) 异常值修正及标准集更新

对于判定的异常点,利用 i 找到 X'_t 中对应值进行替换,并更新 X_t 。将更新后的 X_t 纳入标准样本集,继续对 X_{t+1} 进行算法步骤处理,此时的工作窗口 $W = [X_{t-3}, X_{t-2}, X_{t-1}, X_t, X_{t+1}]$ 。

2.3 基于 LSTM 模型的质量控制

为了对断面交通数据进行有效质量控制,采用基于 LSTM 模型的检测修正算法,建立完整的质量控制流程。算法流程分为 LSTM 模型与数据处理 2部分,如图 2 所示。

3 样本实验

选取 2018 年 5 月份昆汕高速公路 K2077 断面 采集数据进行实例验证。其中,初始标准样本集为 5 月 1 日-4 日该断面的流量和速度数据集,5 月 5 日的对应数据集则为异常检测集。同时计算出所需 标签值,部分检测集数据见表 1。

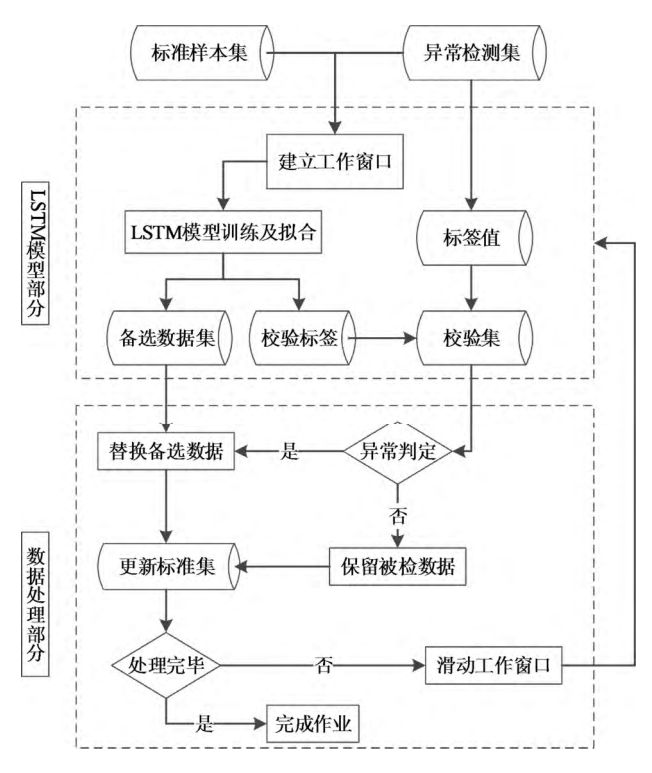


图 2 基于 LSTM 的交通数据质量控制流程

Fig. 2 Quality control of traffic data based on the LSTM

表1 5月5日昆汕高速 K2077 断面部分检测集数据

Table 1 Partial test set data of section K2077 of

Kunming-Shantou expressway on May 5

检测集数据	流量/(veh•(10 min) ⁻¹)	速度/(km•h ⁻¹)	标签值
14:00	107	77	1.39
14:10	143	79	1.81
14:20	87	78	1.12
14:30	57	77	0.74
14:40	156	78	2.00
14:50	125	80	1.56
15:00	111	77	1.44

3.1 模型运用

将标准样本集导入搭建完成的LSTM模型中训练,并不断优化、调节超参数。最终各超参数取值为: 隐层神经元个数 hidden_unit=10; 隐层层数 lstm_layers=2; 学习率 lr=0.0006; 输入向量维度 input_size=2; 输出向量维度 output_size=1; batch-size=60; time_step=20。模型训练迭代过程中,损失函数会随着训练次数的增加而不断降低。直到训练次数达到一定时,即使继续训练,也无法使损失函数明显降低,此时的训练次数可作为合适的迭代次数参数。

在本次实验中, 当迭代次数达到 50 次时, 基

本完成收敛。训练模型完成后,调出模型相关参数,运用模型,得出备选数据集和校验标签值。

3.2 异常数据处理

运用 LSTM 模型, 计算出校验标签值与异常检 测集的标签值。采用修正算法进行计算,得到最终 的校验集。通过对昆汕高速公路 K2077 断面校验集 的异常判定,筛选出5月5日异常检测集的异常点, 对应 i 分别为: 1,13,32,41,59,61,81,83,141。为验证 所提出的异常检测算法的实用性,滑动工作窗口, 继续对5月6日-8日数据进行检测,从而检测出每 个检测数据集中的异常点。为了量化基于 LSTM 模 型标签值的异常检测算法的检测准确率, 计算出 5 日-8 日检测率分别为 81.82%,83.33%,91.67%, 84.62%; 误检率分别为 11.11%,10%,9.09%, 9.09%。 计算结果表明:模型检测率均值超过85%,而误检 率均值不足10%。由于实验采用的标准样本集仅为 前 4 天的数据,训练样本数只有 576 个。因此,当 数据库的标准样本足够多时,会提高该模型准 确率。

针对 5 月 5 日检测筛选出的异常点,对基于LSTM 模型的备选数据集进行修正替换。更新前后的数据集如图 3 所示。从图 3 可以看出,异常点位分布较为均匀,基于 LSTM 模型的检测算法泛化性能良好,异常检测效果突出。同时,为了对修正结果有更清晰地认识,使用相对误差指标,对 5 月 5 日检测集的 9 个修正值进行量化分析,求出对应时刻索引1,13,32,41,59,61,81,83,141 的相对误差,分别为12.68%,10.26%,8.51%,16.21%,8.69%,7.16%,15.03%,7.11%,10.02%,得到整个修正算法的平均相对误差为10.7%。各个异常点之前的相对误差波动范围均在4.55%以内。表明:基于LSTM模型的修正算法性能稳定,整体修正效果良好。

3.3 多方法对比分析

基于 LSTM 模型修正法, 计算得到 5 月 5 日异常检测集中的异常点位及修正值。将标准样本进行更新后, 异常值与修正值对比结果见表 2。

在检测集异常点的修正过程中,如果出现某一特征向量修正结果与异常值相同的情况,这是因为 LSTM 模型将二维特征向量数据集导入训练时,一维特征的变化程度远大于另一维特征的。所以在数据修正时,会优先考虑修正变化大的特征向量。在本算例分析中,由于所取断面为高速公路数据,速度特征变化极小。因此,会有修正,其结果见表 2。

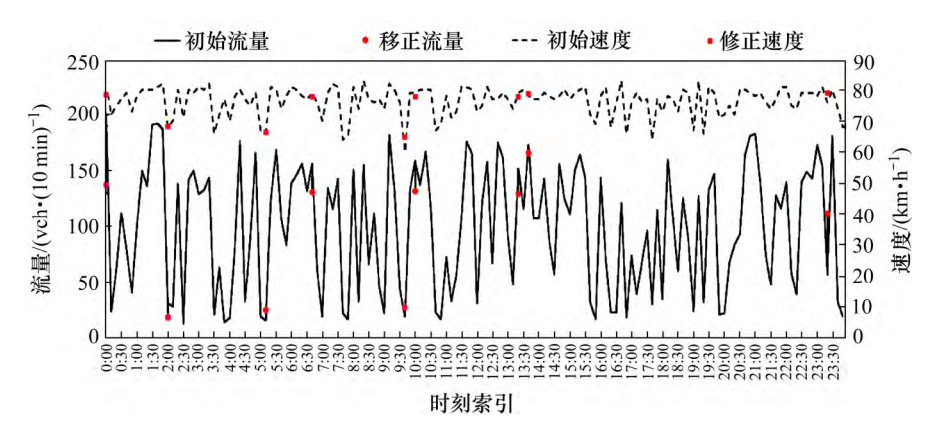


图3 基于 LSTM 模型的数据修正

Fig. 3 Data correction graph based on LSTM model

为了横向比较基于LSTM模型数据异常处理算法的有效性,选取基于短集合的移动平均修正和基于时间相关的历史数据修正 2 种方法作为对比论证。每种方法修正的数据分别与对应窗口数据集的平均值作相对误差(Relative Error,简称为 RE)及均方根误差(Root Mean Squared Error,简称为 RMSE)计算。3 种方法对异常点的修正误差分析见表 3。

表 2 异常数据修正对比

Table 2 Comparison of abnormal data correction

异常值	Ī	修正值	
流量/ [veh•(10 min) ⁻¹]	速度/ (km•h ^{-l})	流量/ [veh•(10 min) ⁻¹]	速度/ (km•h ⁻¹)
198	82	137	78
31	68	19	68
16	66	25	66
156	79	131	77
19	60	28	65
159	79	132	77
152	79	129	78
173	78	166	79
57	76	112	79

从表 3 可以看出: ①历史数据修正方法实用性较差。虽然交通数据具备时间相关性的特点,但因采集时间间隔较短,数据波动较大。所以基于历史数据的修正方法,会出现较大的误差。②虽然基于邻接数据移动平均的修正方法优于历史数据修正。但是,这种方法对于数据集的内部规律,挖掘不够深入,算法性能不稳定,修正数据时,会出现较大的波动。③基于 LSTM 模型,修正算法深入挖掘了数据信息,算法误差小,且具备很强的鲁棒性。在大数据背景下,可以对庞大的交通原始数据进行异常处理。

表3 3种方法误差对比

Table 3 Error comparison of three methods

zubie e zirer companion er unice meureus							
마쉐라리	相对误差/%						
时刻索引	移动平均修正	历史数据修正	基于 LSTM 模型修正				
1	31	18	12.68				
13	25	45	10.26				
32	19	39	8.51				
41	33	24	16.21				
59	28	11	8.69				
61	33	85	7.16				
81	29	14	15.03				
83	19	34	7.11				
141	39	67	10.02				
均值	28	37	10.70				
RMSE	22	39	11.00				

4 结语

原始数据中异常数据的检测与修正是预处理过程中的核心环节。本研究提出了基于 LSTM 模型的数据异常处理算法,得到的结论为:

- 1) LSTM 模型对交通时序数据训练结果,表现 优异,可快速处理大量原始数据。
- 2) 检测修正算法从整体上优化了数据质量, 弥补了传统算法的局限性。
- 3) 工作窗口的建立,精简了算法流程,提升了数据修正的精度。由于深度学习的要求,需要质量高的大量历史数据作为样本训练,因此,有待进一步研究。

参考文献(References):

[1] 王印海,崔志勇.智慧交通发展急需交通数据科学[J].城

- 市交通,2019,17(3):8-10.(WANG Yin-hai,CUI Zhi-yong, The development of smart transportation in urgent need of transportation data science[J].Urban Transport of China,2019,17(3):8-10.(in Chinese))
- [2] 唐敏,王珺.交通诱导电子信息屏评估内容研究[J].公路 工程,2019,44(3):258-263.(TANG Min, WANG Jun. Research on evaluation content of traffic guidance electronic information screen[J].Highway Engineering, 2019,44(3):258-263.(in Chinese))
- [3] Texas Transportation Institute. Advances in traffic data collection and management[R]. Washington, D C: Federal Highway Administration, 2002.
- [4] Jacobson L N,Nihan N L,Bender J D.Detecting erroneous loop detector data in a freeway traffic management system[J]. In Transportation Research Record. Transportation Research Record,1990,1287:151–166.
- [5] Zhong M,Lingras P,Sharma S.Estimation of missing traffic counts using factor, genetic, neural, and regression techniques[J].Transportation Research Part C,2004(12): 139–166.
- [6] Gold D L, Turner S M, Gajewski B J, et al. Imputing missing values in its data archives for intervals under 5 minutes [C]. Transportation Research Board, 2001.
- [7] Vanajakshi L,Rilett L R.Loop detector data diagnostics based on conservation-of-vehicles principle[J]. Washington D C: Transportation Research Record, 2004(1870):162–169.
- [8] Min W,Wynter L.Real-time road traffic prediction with spatiotemporal correlations[J].Transportation Research Part C: Emerging Technologies,2011,19(4):606–616.
- [9] 姜桂艳,牛世峰,李红伟. 动态交通数据质量评价方法研究[J].北京工业大学学报,2011,37(8):1190-1195.(JIANG Gui-yan,NIU Shi-feng,LI Hong-wei.Research on quality evaluation method of dynamic traffic data[J]. Journal of Beijing University of Technology,2011,37(8):1190-1195. (in Chinese))

- [10] 徐程,曲昭伟,陶鹏飞,等.动态交通数据异常值的实时筛选与恢复方法[J].哈尔滨工程大学学报,2016,37(2): 211-217.(XU Cheng,QU Zhao-wei,TAO Peng-fei,et al. Methods of real-time screening and reconstruction for dynamic traffic abnormal data[J].Journal of Harbin Engineering University,2016,37(2):211-217.(in Chinese))
- [11] 杨帆,何正伟,何帆.基于 LSTM 神经网络的船舶异常行 为检测方法[J].武汉理工大学学报:交通科学与工程版, 2019,43(5):886-892.(YANG Fan, HE Zheng-wei, HE Fan. Detection method of abnormal ship behavior based on LSTM neural network[J]. Journal of Wuhan University of Technology: Transportation Science & Engineering,2019,43(5):886-892.(in Chinese))
- [12] Sun B,Ma L,Cheng W,et al.An improved k-nearest neighbours method for traffic time series imputation[M]. Chinese Automation Congress,2017.
- [13] Kim Tae-Young, Cho Sung-Bae. Web traffic anomaly detection using C-LSTM neural networks[J]. Expert Systems with Applications, 2018, 106(2018):66–76.
- [14] 王祥雪,许伦辉.基于深度学习的短时交通流预测研究 [J]. 交通运输系统工程与信息,2018,18(1):81-88. (WANG Xiang-xue, XU Lun-hui. Short-term traffic flow prediction based on deep learning[J].Journal of Transportation Systems Engineering and Information Technology,2018,18(1):81-88.(in Chinese))
- [15] 尹康.基于 LSTM 的关联时间序列预测方法研究[D].北京:北京交通大学,2019.(YIN Kang. Research on LSTM-based correlated time series prediction[D].Beijing: Beijing Jiaotong University, 2019.(in Chinese))
- [16] 王亚萍,成卫,李黎山.基于分层贝叶斯网络的交通密度 估测模型[J].交通科学与工程,2019,35(3):104-110. (WANG Ya-ping, CHENG Wei, LI Li-shan. Road network density estimation model based on hierarchical bayesian network[J]. Journal of Transport Science and Engineering,2019,35(3):104-110.(in Chinese))